

### 3.3. Частица в потенциальной яме

#### 3.3.1. Одномерная потенциальная яма с бесконечно высокими стенками

Пусть частица совершает одномерное движение вдоль оси  $x$  в потенциальной яме, изображенной на рис. 3.1. Математически одномерный потенциал записывается в виде:

$$U = \begin{cases} 0 & 0 \leq x \leq a \\ \infty & x > a, x < 0 \end{cases} \quad (3.3.1)$$

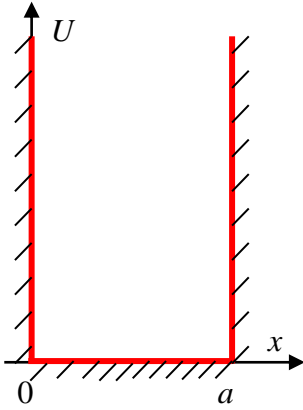


Рис. 3.1.

Стационарное уравнение Шредингера имеет вид:

$$\hat{H}\Psi = -\frac{\hbar^2}{2m} \Delta\Psi + U\Psi = E\Psi \quad (3.3.2)$$

Запишем это уравнение для области внутри ямы, где потенциальная энергия равна нулю:

$$-\frac{\hbar^2}{2m} \frac{d^2}{dx^2} \Psi(x) = E\Psi(x) \quad (3.3.3)$$

Преобразуем уравнение к виду:

$$\frac{d^2\Psi}{dx^2} + k^2\Psi = 0 \quad \text{или} \quad \Psi'' + k^2\Psi = 0 \quad (3.3.4)$$

где ввели волновое число:

$$k^2 = \frac{2mE}{\hbar^2} \quad (3.3.5)$$

Решения вне ямы не существует, поскольку там потенциальная энергия равна бесконечности, и частица не может находиться вне ямы. Для учета этого обстоятельства введем граничные условия, запрещающие частице находиться на левой и правой стенках потенциальной ямы:

$$\Psi(0) = \Psi(a) = 0 \quad (3.3.6)$$

Общее решение уравнения (3.3.4) представляем в виде:

$$\Psi = A \sin kx + B \cos kx \quad (3.3.7)$$

Для определения коэффициентов в решении (3.3.7) используем граничные условия:

при  $x = 0$ ,  $\Psi(0) = B = 0$ , откуда получаем коэффициент  $B = 0$ .

при  $x = a$ ,  $\Psi(a) = A \sin ka = 0$ , откуда получаем, что  $\sin ka = 0$ , и  $ka = \pm n\pi$  (коэффициент

$A \neq 0$ , иначе внутри вообще нет частицы), где  $n = 1, 2, 3, \dots$

Фактически полученное равенство

$$ka = \pm n\pi \quad (3.3.8)$$

есть *условие квантования уровней энергии* в потенциальной яме с бесконечными стенками, поскольку решения отличные от нуля имеются только при определенном наборе волновых чисел.

Итак, получаем окончательно решение уравнения (3.3.4):

$$\Psi_n = A \sin \frac{n\pi}{a} x \quad (3.3.9)$$

Эти функции являются собственными функциями гамильтониана из уравнения (3.3.2) при данных граничных условиях (3.3.6).

**Примечание 1.** Вместо решения (3.3.7) можно было записать общее решение в виде экспонент:

$$\Psi = A \exp(ikx) + B \exp(-ikx)$$

Используя те же граничные условия (3.3.6), получаем то же условие квантования (3.3.8) и решение (3.3.9).

**Примечание 2.** Об импульсе. Внутри ямы гамильтониан равен  $\hat{H} = \frac{\hat{p}^2}{2m}$  и казалось бы коммутатор

оператора импульса с гамильтонианом равен нулю  $[\hat{p}, \hat{H}] = \left[ \hat{p}, \frac{\hat{p}^2}{2m} \right] = 0$ . При этом получаем, что энергия

$E$  и импульс  $p$  для электрона в бесконечной потенциальной яме одновременно измеримы. Однако, это не

так. Собственная волновая функция импульса  $\Psi_p = C \exp\left(\frac{i}{\hbar} px\right)$  не удовлетворяет поставленным граничным условиям. Импульс только по модулю имеет постоянное значение, но сам импульс  $p$  не имеет определенного значения.

Подставляя условие квантования в уравнение (3.3.5), получаем уровни энергии:

$$E_n = \frac{\pi^2 \hbar^2}{2ma^2} n^2 \quad (3.3.10)$$

Итак, *энергия частицы в потенциальной яме принимает дискретные значения*. Состояние частицы описывается соответствующими волновыми функциями (3.3.9). При этом постоянную  $A$  находим из условия нормировки:

$$\int_0^a |\Psi(x)|^2 dx = A^2 \int_0^a \sin^2\left(\frac{n\pi}{a} x\right) dx = \frac{1}{2} A^2 \int_0^a \left(1 - \cos \frac{2n\pi}{a} x\right) dx = A^2 \frac{a}{2} = 1$$

Отсюда получаем коэффициент  $A$ :

$$A = \sqrt{\frac{2}{a}} \quad (3.3.11)$$

Окончательно запишем собственные функции и собственные энергии:

$$\Psi_n(x) = \sqrt{\frac{2}{a}} \sin\left(\frac{n\pi}{a} x\right) \quad (3.3.12)$$

$$E_n = \frac{\pi^2 \hbar^2}{2ma^2} n^2$$

где квантовое число  $n = 1, 2, 3, \dots$  определяет номер состояния. На рисунке 3.2 построены графики энергии, волновых функций (рис. 3.2 А) и плотностей вероятности (рис. 3.2 Б) нахождения частицы внутри ямы для различных значений  $n$ :

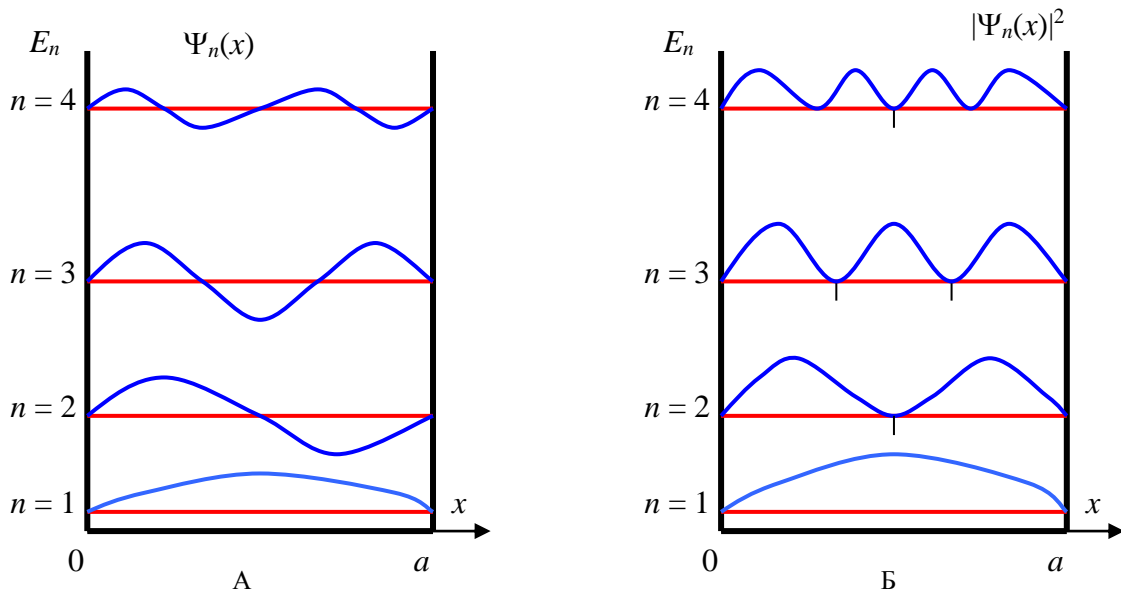


Рис. 3.2.

При  $n = 1$  мы имеем низшее значение энергии частицы

$$E_1 = \frac{\pi^2 \hbar^2}{2ma^2} \quad (3.3.13)$$

Наименьшее значение энергии можно оценить так же из соотношения неопределенностей:  $\Delta p \cdot \Delta x \geq \hbar$ .

Здесь  $\Delta x = a$ ,  $\Delta p \sim p = \sqrt{2mE}$ , тогда получаем:

$$a \cdot \sqrt{2mE} \geq \hbar$$

и отсюда

$$E \geq \frac{\hbar^2}{2ma^2} \quad (3.3.14)$$

**Примечание 3.** В этой простой задаче те же значения энергии можно так же получить исходя из правил квантования Бора-Зоммерфельда (или что то же самое, из стоячих волн де Бройля):  $\oint p_x dx = n2\pi\hbar$ . Считая интеграл от 0 до  $a$  и обратно, получаем:

$$2a \cdot \sqrt{2mE} = n2\pi\hbar \quad (3.3.15)$$

откуда получаем то же выражение для энергии (3.3.12).

Расстояние между соседними уровнями равно:

$$\Delta E_n = E_{n+1} - E_n = \frac{\pi^2 \hbar^2}{2ma^2} (2n+1) \quad (3.3.16)$$

При больших значениях номера уровня  $n$  ( $n \gg 1$ ), имеем:

$$\Delta E_n \approx \frac{\pi^2 \hbar^2}{ma^2} n \quad (3.3.17)$$

Оценим расстояние между уровнями для нескольких случаев:

1). Атомы или молекулы находятся в сосуде с размерами  $a \sim 1$  см. Масса молекулы  $m \sim 10^{-23}$  г. Энергии квантованы, но какое расстояние между уровнями энергии:

$$\Delta E_n \sim \frac{(3.14)^2 \cdot (1.05)^2 10^{-54}}{1 \cdot 10^{-23}} n \sim 10^{-30} n \quad (\text{эрг}) \quad (3.3.18)$$

Т.е. расстояние между уровнями чрезвычайно мало, уровни расположены очень густо. Для наших приборов они представляют практически сплошной спектр. Дискретность уровней никак не сказывается на движении молекул в таком сосуде.

2). Примерно те же условия имеем для электронов в металле. Свободные или валентные электроны находятся в “потенциальной яме”, размеры которой пусть также порядка  $a \sim 1$  см. Тогда расстояние между уровнями (при массе электронов  $m \sim 10^{-27}$  г) равно:

$$\Delta E_n \sim 10^{-26} n \quad (\text{эрг}) \approx 10^{-14} n \quad (\text{эВ}) \quad (3.3.19)$$

Расстояние между уровнями также чрезвычайно мало, и дискретность уровней не сказывается на движении электронов в металле.

3). Иное дело для электронов, находящихся в яме с размерами порядка размеров атома  $a \sim 10^{-8}$  см. В этом случае расстояние между уровнями весьма существенно:

$$\Delta E_n \sim 10^{-10} n \quad (\text{эрг}) \approx 10^2 n \quad (\text{эВ}) \quad (3.3.20)$$

Поэтому в объектах с подобными размерами необходимо учитывать дискретность энергетических уровней.

**Дополнение 1.** Рассмотрим 3-х мерную прямоугольную яму с бесконечными стенками. Пусть размеры ямы равны:  $a, b, c$ . Внутри ямы потенциальная энергия равна нулю:  $U = 0$  при  $0 \leq x \leq a, 0 \leq y \leq b, 0 \leq z \leq c$ . На границах  $U = \infty$ . Движение частицы в яме происходит независимо вдоль осей  $x, y$  и  $z$ . Тогда волновая функция может быть представлена в виде произведения функций, отдельно зависящих от каждой из координат, и полная функция имеет вид:

$$\Psi_{n_1 n_2 n_3} = \sqrt{\frac{8}{abc}} \sin \frac{n_1 \pi}{a} x \cdot \sin \frac{n_2 \pi}{b} y \cdot \sin \frac{n_3 \pi}{c} z \quad (3.3.21)$$

При этом энергия равна сумме энергий движений по всем трем осям:



Рис. 3.3.

$$E_{n_1 n_2 n_3} = \frac{\pi^2 \hbar^2}{2m} \left( \frac{n_1^2}{a^2} + \frac{n_2^2}{b^2} + \frac{n_3^2}{c^2} \right) \quad \text{при} \quad n_1, n_2, n_3 = 1, 2, 3, \dots \quad (3.3.22)$$

Когда размеры ямы:  $a, b, c$  соизмеримы, либо  $a = b$  ( $b = c$ ), либо  $a = b = c$  возникают вырожденные уровни энергии. Это когда одному и тому же значению энергии соответствуют несколько состояний, описываемых различными функциями.

### 3.3.2. Одномерная потенциальная яма с конечными стенками

Рассмотрим одномерную прямоугольную яму со стенками конечной высоты (см рис. 3.4). Определим возможные значения энергии и волновые функции частицы в такой яме. Расположим начало координат на дне ямы симметрично относительно стенок:

$$U(x) = \begin{cases} 0, & -\frac{a}{2} < x < \frac{a}{2} \\ U_0, & x > \frac{a}{2}; x < -\frac{a}{2} \end{cases} \quad (3.3.23)$$

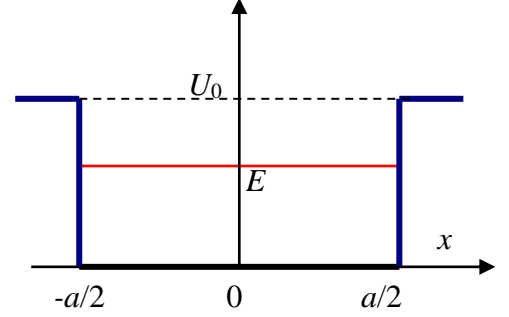


Рис. 3.4.

Это симметричная яма  $U(x) = U(-x)$ , и при решении задачи этим воспользуемся ниже.

Решения уравнения Шредингера рассмотрим в 2-х областях отдельно: внутри и вне ямы. Для этих областей мы получаем различные решения. Для получения общего решения необходимо “сшивать” эти решения на границе ямы в силу непрерывности волновой функции и ее производных. Для этого необходимо приравнять значения волновой функции и их производных на границах.

1). При энергии частицы  $E > U_0$  имеем непрерывный спектр энергий, – частица пролетает над ямой и может иметь любую энергию. В самом деле, в области координат самой ямы имеем уравнение типа (3.3.4):

$$\psi'' + \frac{2m}{\hbar^2} E \psi = 0 \quad (3.3.24)$$

Вводя волновое число, как и ранее в (3.3.5)  $k'_0 = \sqrt{\frac{2m}{\hbar^2} E}$ , записываем решение в этой области:

$$\psi(x) = A_1 \cos k'_0 x + B_1 \sin k'_0 x \quad (3.3.25)$$

В областях вне ямы имеем уравнение:

$$\psi'' + \frac{2m}{\hbar^2} (E - U_0) \psi = 0 \quad (3.3.26)$$

Вводя новое волновое число  $k_0 = \sqrt{\frac{2m}{\hbar^2} (E - U_0)}$ , получаем аналогичное решение вне ямы:

$$\psi(x) = A \cos k_0 x + B \sin k_0 x \quad (3.3.27)$$

Далее сшиваем эти решения (3.3.25) и (3.3.27) на границе  $x = \pm \frac{a}{2}$ , то есть на границе приравниваем сами функции и их производные. При этом в силу симметрии достаточно рассмотреть эти соотношения только при одной границе, например при  $x = \frac{a}{2}$ .

$$\begin{aligned} A_1 \cos \frac{k'_0 a}{2} + B_1 \sin \frac{k'_0 a}{2} &= A \cos \frac{k_0 a}{2} + B \sin \frac{k_0 a}{2} \\ -A_1 k'_0 \sin \frac{k'_0 a}{2} + B_1 k'_0 \cos \frac{k'_0 a}{2} &= -A k_0 \sin \frac{k_0 a}{2} + B k_0 \cos \frac{k_0 a}{2} \end{aligned}$$

Из полученных уравнений определяются коэффициенты при осциллирующих функциях, и оказывается, что система уравнений имеет решения при любых  $k'_0$ . Это означает, что любые энергии частицы разрешены.

Таким образом, при  $E > U_0$  имеем сплошной спектр.

2). Рассмотрим подробнее случай, когда энергия частицы меньше высоты ямы  $E < U_0$ . В этом случае мы получаем дискретный спектр энергий, т.е. связанные состояния, когда волновая функция  $\psi \rightarrow 0$  при удалении ее от ямы. Для двух областей имеем следующие уравнения и их решения:

$$1). \quad |x| < a/2 \quad \psi'' + k^2\psi = 0, \quad k^2 = \frac{2mE}{\hbar^2},$$

$$\psi_{<} = A \sin kx + B \cos kx \quad (3.3.28)$$

$$2). \quad |x| > a/2 \quad \psi'' - \alpha^2\psi = 0, \quad \alpha^2 = \frac{2m}{\hbar^2}(U_0 - E) = \kappa^2 - k^2, \quad \kappa^2 = \frac{2m}{\hbar^2}U_0$$

$$\psi_{>} = C_1 e^{-\alpha x} + C_2 e^{\alpha x} \quad (3.3.29)$$

Здесь удобно ввести понятие *четности состояний*. Введем оператор четности  $\hat{P}$  с помощью соотношения:

$$\hat{P}\psi(x) = \lambda\psi(-x). \quad (3.3.30)$$

Собственные числа оператора четности могут быть получены, если повторно подействовать оператором четности  $\hat{P}$  на уравнение (3.3.30). При этом получаем исходную волновую функцию:

$$\hat{P}\hat{P}\psi(x) = \lambda^2\psi(x) = \psi(x)$$

Откуда получаем значения собственных чисел  $\lambda = \pm 1$ . Когда  $\lambda = 1$ , то получаем “четное” состояние, если  $\lambda = -1$ , то имеем “нечетное” состояние. Легко видеть, что оператор четности коммутирует с гамильтонианом рассматриваемой задачи, поскольку  $U(x) = U(-x)$ :

$$[\hat{P}, \hat{H}] = 0. \quad (3.3.31)$$

Таким образом получаем, что четность и энергия одновременно могут иметь определенные значения, значит, все получающиеся состояния имеют определенную четность: *либо нечетные, либо четные*. Рассмотрим эти состояния поочередно.

#### **Нечетные состояния.**

Запишем решения уравнений (3.3.28)  $\psi_{<}$  и (3.3.29)  $\psi_{>}$  для нечетных состояний

$$\psi_{<} = A \sin kx$$

$$\psi_{>} = \begin{cases} C \exp(-\alpha x), & x > a/2 \\ -C \exp(\alpha x), & x < -a/2 \end{cases} \quad (3.3.32)$$

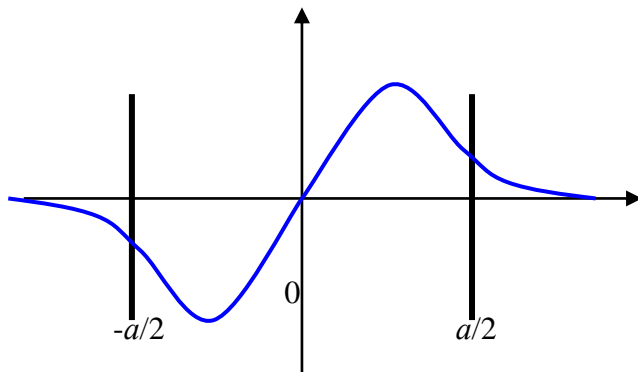


Рис. 3.5.

Бесконечно растущие решения в областях за пределами ямы не подходят, поскольку волновая функция стремится к бесконечности при  $x \rightarrow \pm\infty$ . Поэтому в (3.3.32) оставляем только затухающие решения. Таким образом, видно, что частица проникает в области вне ямы, при этом  $L \sim 1/\alpha$  – глубина проникновения частицы под барьер.

Из условия непрерывности волновой функции и ее производной на границе  $x = a/2$  получаем следующие соотношения:

$$\begin{cases} A \sin \frac{ka}{2} = C \exp\left(-\frac{\alpha a}{2}\right) \\ kA \cos \frac{ka}{2} = -\alpha C \exp\left(-\frac{\alpha a}{2}\right) \end{cases} \quad (3.3.33)$$

Простейшее решение (3.3.32) изображено на рисунке 3.5. Делением верхнего уравнения (3.3.33) на нижнее уравнение получаем:

$$\operatorname{tg} \frac{ka}{2} = -\frac{k}{\alpha} \quad (3.3.34)$$

Это уравнение, следующее из граничных условий, определяет энергии разрешенных состояний. То же самое уравнение получим в силу симметрии из граничного условия при  $x = -a/2$ , поэтому его не рассматриваем. Введем следующее обозначение:

$$t = \frac{ka}{2},$$

тогда для правой части (3.3.34) получаем из (3.3.29):

$$\frac{k}{\alpha} = \frac{t}{\left(\frac{a\alpha}{2}\right)} = \frac{t}{\sqrt{\left(\frac{ka}{2}\right)^2 - \left(\frac{ka}{2}\right)^2}} = \frac{t}{\sqrt{\tau^2 - t^2}},$$

где введен параметр *мощности ямы*:

$$\tau = \frac{a}{\hbar} \sqrt{\frac{mU_0}{2}}. \quad (3.3.35)$$

Итак, для определения спектра (разрешенных уровней энергии) будем решать трансцендентное уравнение:

$$tgt = -\frac{t}{\sqrt{\tau^2 - t^2}} \quad (3.3.36)$$

Рассмотрим решение этого уравнения графически (см рис. 3.6): построим отдельно правую и левую части уравнения. Точки пересечения дают корни этого уравнения. Из рисунка 3.6 видно, решения имеются не при всех  $\tau$ . Чем больше мощность ямы  $\tau$ , тем больше корней уравнения – больше разрешенных уровней энергии.

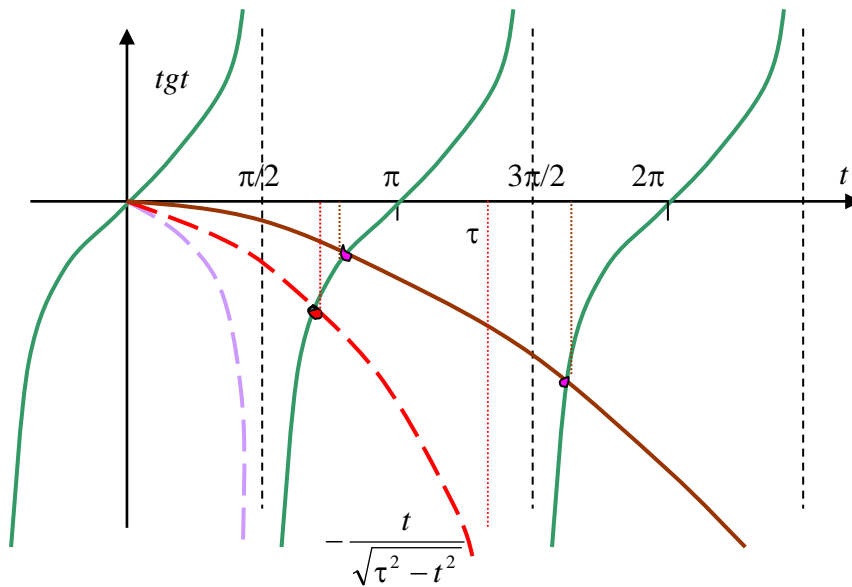


Рис. 3.6.

При уменьшении  $\tau$  число корней уменьшается. А при мощности  $\tau < \pi/2$ , т.е. при следующих значениях

$$mU_0 a^2 < 2 \frac{\pi^2}{4} \hbar^2 = \frac{\pi^2 \hbar^2}{2},$$

корней соответствующих нечетным состояниям нет вовсе. При этом напомним, что  $t_0 = 0$  и  $E_0 = 0$  не являются корнями, т.к. при этом решение внутри ямы равно  $\psi_{\leq} = Ax$ , которое не удовлетворяет граничным условиям.

Итак, касаясь нечетных состояний, получаем следующее:

А) При мощности ямы  $\tau < \pi/2$  нет дискретных состояний

Б) При мощности ямы  $\pi/2 < \tau < 3\pi/2$  получаем 1 нечетное состояние

В) При мощности ямы  $3\pi/2 < \tau < 5\pi/2$  имеем 2 нечетных состояний

и так далее.

**Четные состояния.**

Запишем теперь решения уравнений (3.3.28)  $\psi_<$  и (3.3.29)  $\psi_>$  для четных состояний:

$$\begin{cases} \psi_< = B \cos kx \\ \psi_> = D \exp(-\alpha|x|) \end{cases} \quad (3.3.37)$$

На границе ямы при  $x = a/2$  запишем условия непрерывности для функции и производной:

$$\begin{cases} B \cos \frac{ka}{2} = D \exp\left(-\frac{\alpha a}{2}\right) \\ -kB \sin \frac{ka}{2} = -\alpha D \exp\left(-\frac{\alpha a}{2}\right) \end{cases} \quad (3.3.38)$$

Откуда получаем новое трансцендентное уравнение:

$$\operatorname{tg} \frac{ka}{2} = \frac{\alpha}{k} \quad (3.3.39)$$

В силу симметрии то же уравнение дают граничные условия при  $x = -a/2$ . Введя те же обозначения:  $t = \frac{ka}{2}$

и  $\tau = \frac{a}{\hbar} \sqrt{\frac{mU_0}{2}}$ , получаем следующее уравнение для определения спектра:

$$\operatorname{tgt} = \frac{\sqrt{\tau^2 - t^2}}{t} \quad (3.3.40)$$

Рассмотрим также графически решение этого уравнения, построив отдельно правую и левую части уравнения на рис. 3.7. Точки пересечения дают корни этого уравнения. Правая функция уменьшается от бесконечного значения при  $t = 0$  и обрывается при  $t = \tau$ . Из рисунка видно, что при всех возможных

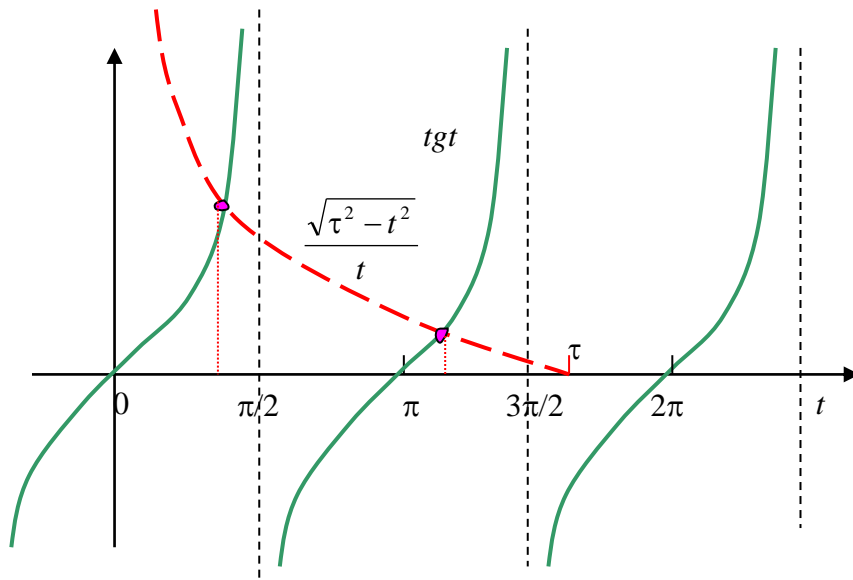


Рис. 3.7.

значениях параметра  $\tau$  хоть одно решение есть всегда. Чем больше мощность ямы  $\tau$ , тем больше четных решений. Итак, получаем:

- 1) при мощности ямы  $\tau < \pi$  имеем 1 четное решение,
- 2) при мощности  $\pi < \tau < 2\pi$  получаем 2 четных решения,

3) при мощности  $2\pi < \tau < 3\pi$  получаем 3 четных решения, и так далее.

Для того чтобы яснее понять появление уровней в яме, рассмотрим “мелкую” яму, т.е. для которой параметр  $\tau \ll 1$ . Для такой ямы достаточно легко найти энергию единственного четного состояния ( $t \leq \tau \ll 1$ ). Из (3.3.40) имеем, разложив тангенс в ряд:

$$t \operatorname{tg} t \approx t = \frac{\sqrt{\tau^2 - t^2}}{t}$$

Решая это уравнение и учитывая, что  $t$  и  $\tau$  одного порядка, имеем:

$$t^2 = \tau^2 - t^4 \approx \tau^2 - \tau^4$$

Далее вспоминая, что введенные параметры равны  $t = \frac{ka}{2}$  и  $\tau = \frac{a}{\hbar} \sqrt{\frac{mU_0}{2}}$ , записываем для квадрата волнового числа:

$$k^2 = \frac{4}{a^2} t^2 \approx \frac{4}{a^2} \frac{a^2}{\hbar^2} \frac{mU_0}{2} \left( 1 - \frac{a^2}{\hbar^2} \frac{mU_0}{2} \right) = \frac{2mU_0}{\hbar^2} \left( 1 - \frac{a^2}{\hbar^2} \frac{mU_0}{2} \right)$$

Для энергии получаем:

$$E = \frac{\hbar^2 k^2}{2m} \approx \frac{\hbar^2}{2m} \frac{2m}{\hbar^2} U_0 \left( 1 - \frac{ma^2}{2\hbar^2} U_0 \right) = U_0 \left( 1 - \frac{ma^2}{2\hbar^2} U_0 \right) \quad (3.3.41)$$

Получаем, что первый (четный) уровень энергии в мелкой яме  $\tau \ll 1$  находится у самого “верха” ямы.

Иначе говоря  $E \approx U_0$ , хотя и чуть меньше этого значения на малую величину  $\tau^2 = \frac{ma^2}{2\hbar^2} U_0^2$ .

Подытожим полученное. Число уровней в одномерной яме с конечными стенками – конечно, но при этом всегда существует хотя бы одно связанное состояние. При малой глубине и ширине (мощности) ямы в яме имеется только один уровень – четный уровень. С ростом  $U_0$  и  $a$  растет мощность ямы, и появляются новые уровни при прохождении параметром  $\tau$  значений  $\tau = \frac{\pi}{2} n$ , где  $n$  – целое число. Четные и нечетные

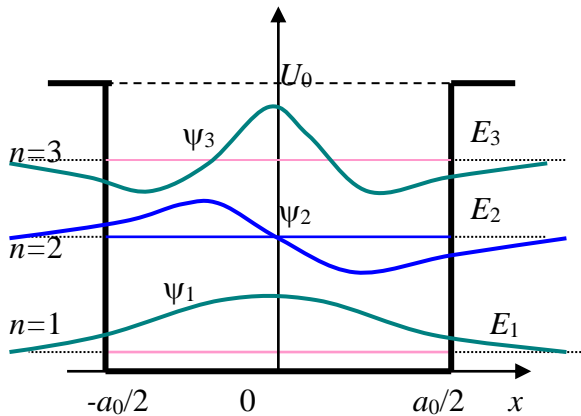


Рис. 3.8.

уровни появляются по очереди, причем вначале четные. Уровни энергии  $E_n$  в спектре нумеруются главными квантовыми числами  $n = 1, 2, 3, \dots$ . Причем нечетным значениям  $n$  соответствуют четные состояния, а четным  $n$  – нечетные.

Качественное поведение волновых функций низших состояний показано на рисунке 3.8. Возводя в квадрат эти волновые функции, получаем плотность вероятности нахождения частицы при данной координате.

Важно отметить, что частица может некоторое время существовать в классически запрещенной зоне, где  $U_0 > E$ .

**Примечание 3.** В одномерной потенциальной яме хотя бы один уровень существует всегда, но это не так в трехмерной потенциальной яме. Для нее существование хотя бы одного уровня зависит от “мощности” потенциальной ямы:  $a^2 U_0$ , где  $U_0$  – глубина ямы, а  $a$  – ее размер. При малых мощностях ямы энергия частицы тоже должна быть малой, т.е. частица имеет большую длину волны де Бройля, и она как бы не “помещается” внутри ямы.